

# PT对称光学系统及其在 增强传感领域的应用

小组成员与分工：

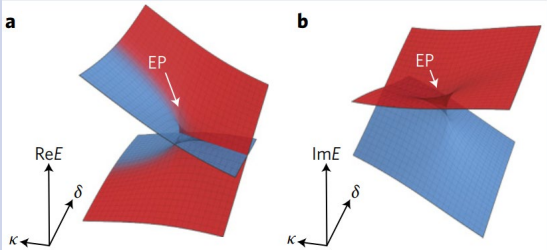
王艺铭：PT对称与非厄米系统

刘润泽：如何利用光学微腔构建PT对称系统

钱镜宇：在传感器方面的应用及优势

# 1. PT对称与非厄米系统

非厄米系统：存在与外界**能量交换**的系统，哈密顿量非厄米，即  $\hat{H} \neq \hat{H}^\dagger$ ，可具有复能谱，光学中通常与**增益**与**损耗**有关

双正交性	例外点（Exceptional Point）	宇称-时间反演（Parity-Time, PT）对称系统
<div><math display="block">H \Psi_n^R\rangle = E_n \Psi_n^R\rangle</math><math display="block">H^\dagger \Psi_n^L\rangle = E_n^* \Psi_n^L\rangle</math></div> <div>有左右矢的<b>双正交关系</b></div> <div><math display="block">\sum_n  \widetilde{\Psi}_n^L\rangle \langle \widetilde{\Psi}_n^R  = 1</math><math display="block">\langle \widetilde{\Psi}_n^L   \widetilde{\Psi}_m^R \rangle = \delta_{mn}</math></div> <div>但左矢之间不正交，右矢之间不正交</div>	<div>非厄米系统参数空间的<b>简并点</b>，本征值简并的同时还有<b>本征向量</b>的<b>合并</b>（coalesce）。表现出与厄米系统简并点不同的拓扑特征</div> <div></div>	<div>PT变换<math>\mathcal{PT}</math>: <math>\vec{r} \rightarrow -\vec{r}</math>, <math>t \rightarrow -t</math>, <math>i \rightarrow -i</math> 系统哈密顿量H若与<math>\mathcal{PT}</math>对易，则称系统具有<b>PT对称性</b>，这是一类<b>特殊的非厄米系统</b>。</div> <div>非厄米系统若具有<b>PT对称性</b>，则哈密顿算子可以具有<b>实能谱</b></div> <div>易于物理实现</div>

1, PT对称系统简要介绍

现实中广泛存在的非厄米系统，从光学、力学、经典电路甚至到软物质等领域

Table 1. A wide variety of classical and quantum systems described by non-Hermitian matrices/operators together with their physical origins of non-Hermiticity, presented in order of appearance in the present review.

Systems / Processes	Physical origin of non-Hermiticity	Theoretical methods
Photonics	Gain and loss of photons	Maxwell equations [12, 13]
Mechanics	Friction	Newton equation [14, 15]
Electrical circuits	Joule heating	Circuit equation [16]
Stochastic processes	Nonreciprocity of state transitions	Fokker-Planck equation [17, 18]
Soft matter and fluid	Nonlinear instability	Linearized hydrodynamics [19–21]
Nuclear reactions	Radiative decays	Projection methods [4–6]
Mesoscopic systems	Finite lifetimes of resonances	Scattering theory [22, 23]
Open quantum systems	Dissipation	Master equation [24, 25]
Quantum measurement	Measurement backaction	Quantum trajectory approach [26–31]

Ashida, Y., Gong, Z., & Ueda, M. (2020). Non-Hermitian physics. *Advances in Physics*, 69(3), 249–435.  
<https://doi.org/10.1080/00018732.2021.1876991>

## 1. PT对称与非厄米系统

PT对称中P和T算符分别为空间反演和时间反演算符：

$$P: \hat{x} \rightarrow -\hat{x}, \hat{p} \rightarrow -\hat{p}, i \rightarrow i$$

$$T: \hat{x} \rightarrow \hat{x}, \hat{p} \rightarrow -\hat{p}, i \rightarrow -i.$$

则对于**PT变换**：  $\hat{x} \rightarrow -\hat{x}, \hat{p} \rightarrow -\hat{p}, i \rightarrow -i$

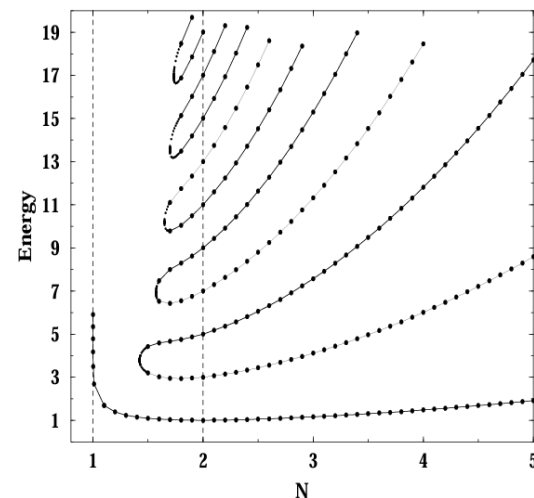
如果PT算符与哈密顿量算符H**对易**：  $[H, PT] = 0$ , 那么这个哈密顿量是**PT对称**的。

1997年Bender等人提出了一类非厄米哈密顿量：

$$H = p^2 + m^2 x^2 - (ix)^N$$

当 $m=0$ ，时解如右图

$$-\frac{d^2 \phi}{dx^2} - (ix)^N \phi = E \phi$$



$N < 1$ ，无实数解。

$1 < N < 2$ ，有有限实数解

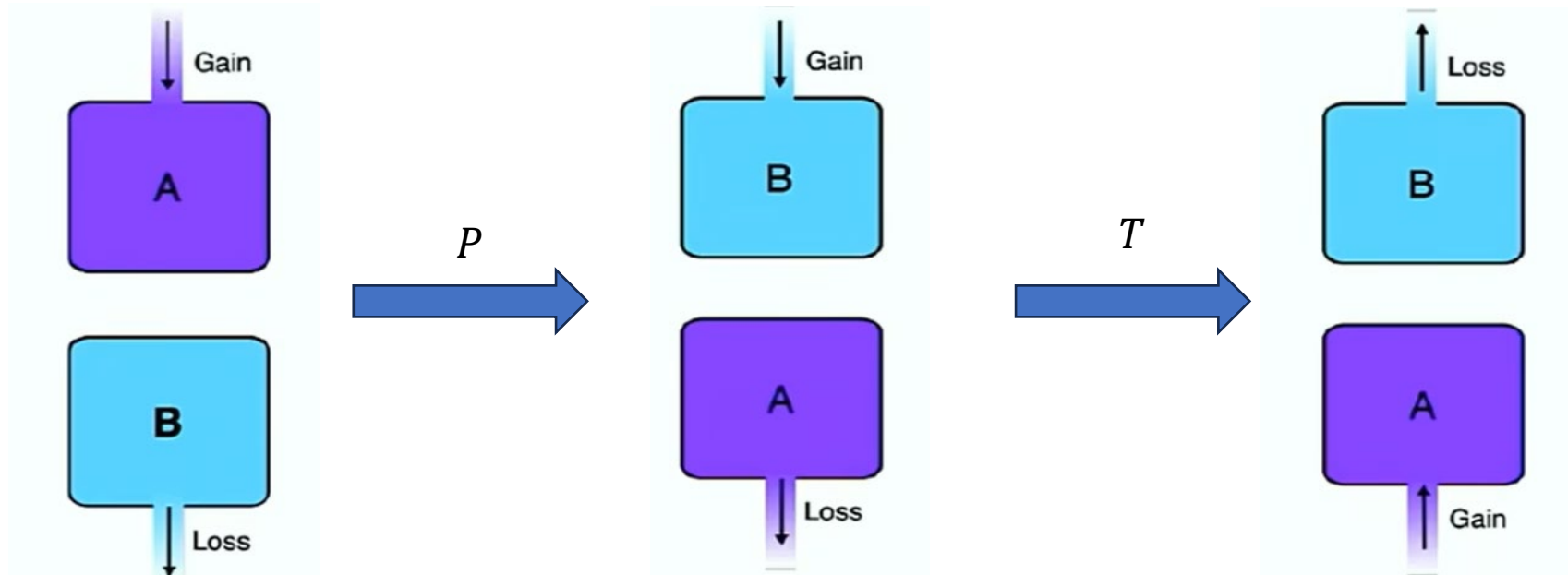
$2 < N$ ，有无穷多实数解。

Bender, Carl M. and Stefan Boettcher. "Real Spectra in Non-Hermitian Hamiltonians Having PT Symmetry." *Physical Review Letters* 80 (1997): 5243-5246.

## 1.PT对称与非厄米系统

理解PT对称的一种简单图像 (ref: 2021凝聚态理论前沿暑假讲习班 寇谏鹏 非厄米物理学简介)

两个独立的“水池”构成的系统



一个注水  
一个放水

与开始的系统完全一致，这个系统是PT对称的

$$H = \begin{bmatrix} a + ib & 0 \\ 0 & a - ib \end{bmatrix}$$

非平衡物理系统

先施加宇称反演变换 $P$

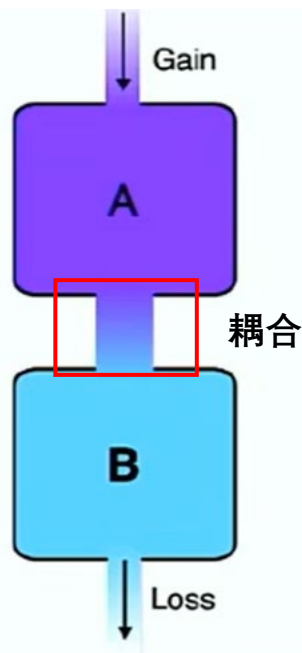
再施加时间反演变换 $T$

## 1.PT对称与非厄米系统

理解PT对称的一种简单图像 (ref: 2021凝聚态理论前沿暑假讲习班 寇谔鹏 非厄米物理学简介)

两个耦合的“水池”构成的系统

一个注水  
一个放水



$$H = \begin{bmatrix} a + ib & g \\ g & a - ib \end{bmatrix}$$

这个系统也是PT对称的

计算本  
征谱

$$\det(H - EI) = a^2 + b^2 - 2aE + E^2 - g^2$$

$$E_{\pm} = a \pm \sqrt{g^2 - b^2}$$

如何理解?

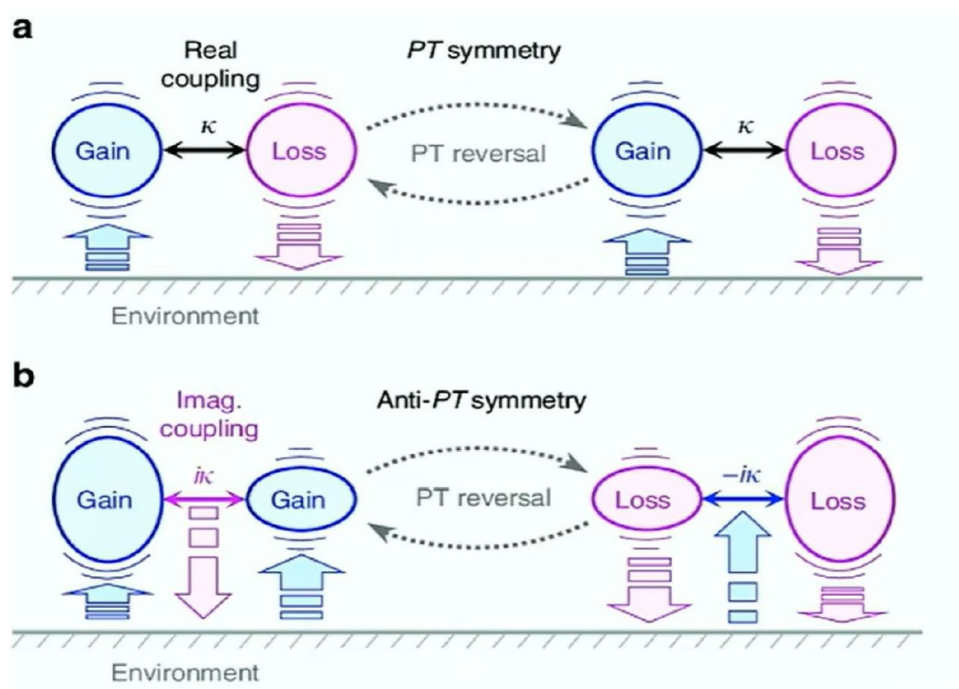
A从外界**获取**能量，B向外界**输出**能量，A将获取的能量都**耦合**进B里面，当gain/loss与耦合相平衡时达到**动态平衡**，也就对应着上面本征能量中根号内  $g = b$ ，即达到**简并点**Exceptional Point(**EP**)

①  $g > b$ : 两个相隔  $2\sqrt{g^2 - b^2}$  的实能谱, **PT对称相**

②  $g < b$ : 两个相互共轭的复能谱, **PT对称破缺相**

## 1. PT对称与非厄米系统

理解PT对称的一种简单图像 (ref: 2021凝聚态理论前沿暑假讲习班 寇谿鹏 非厄米物理学简介)

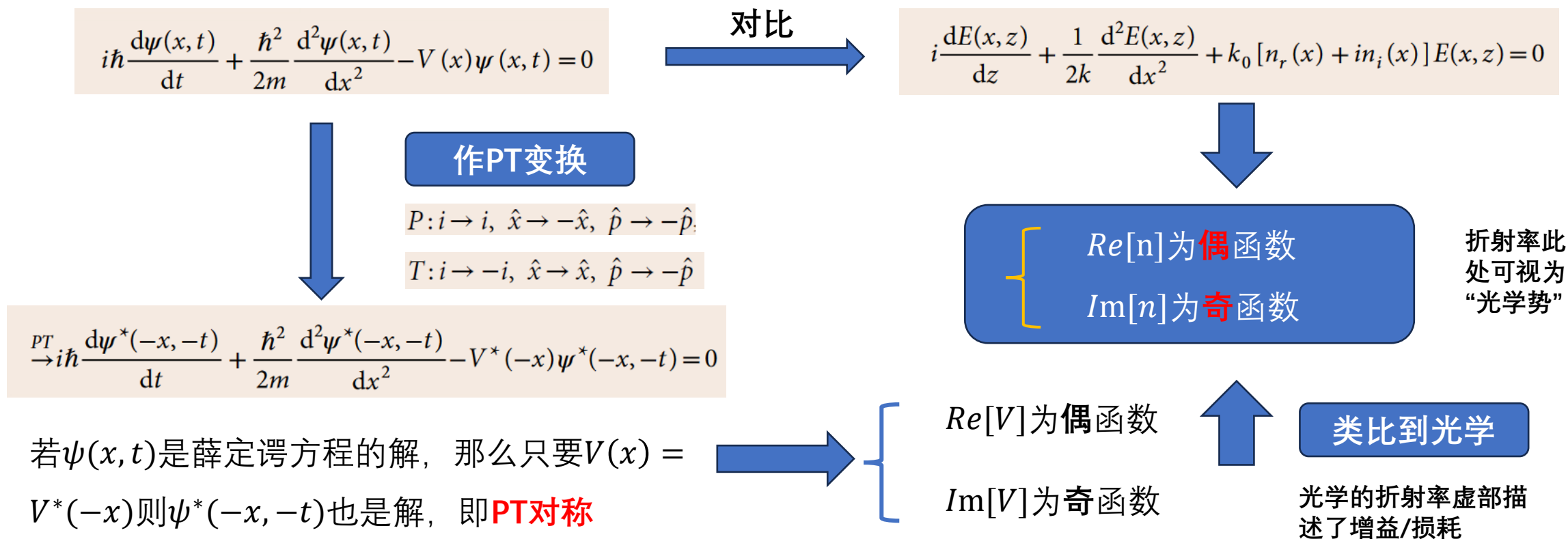


PT系统与反PT系统

PT与反PT很多时候性质是相似的，对于**反PT**来说只需要两个子系统的**增益/损耗不同**即可，这在物理系统中实现会**更加容易**，只要增益/损耗不同并加以子系统之间的耦合

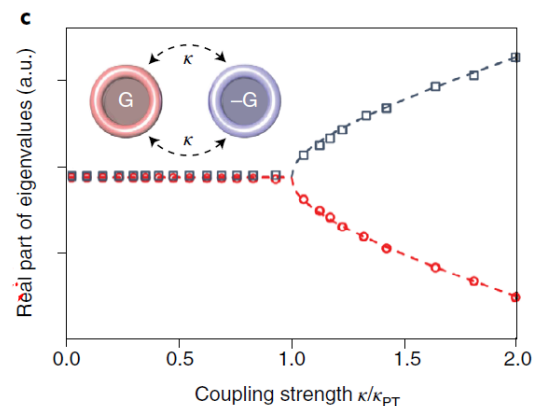
## 2. 一些实现PT对称系统的光学方案

比较薛定谔方程与光学傍轴方程，二者具有相似的结构





## 2, 非厄米PT对称哈密顿量及EP附近的特征

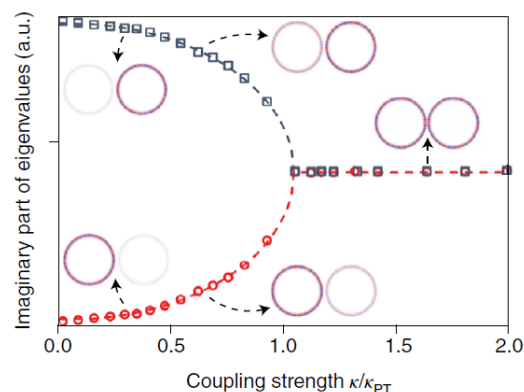


耦合增益-  
损耗谐振环  
哈密顿量

$$H' = \begin{bmatrix} \omega' - i\gamma & \kappa \\ \kappa & \omega' + i\gamma \end{bmatrix}$$

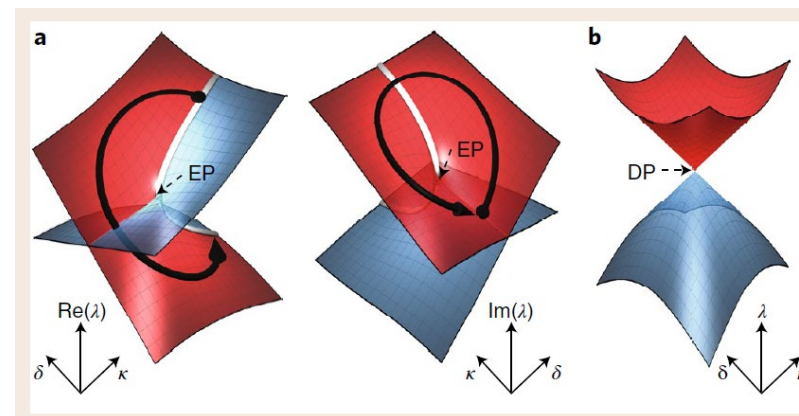
$$\omega'_{\pm} = \omega' \pm \sqrt{\kappa^2 - \gamma^2}$$

EP分隔了PT对称与对称破缺相，通过改变耦合强度 $\kappa$ 可以实现二者之间的转换。



耦合强度-能谱  
实部/虚部图

- ①  $\kappa > \kappa_{PT}$ : 两个分离的实能谱, **PT对称相, 强耦合**
- ②  $\kappa < \kappa_{PT}$ : 两个相互共轭的复能谱, **PT对称破缺相, 弱耦合**

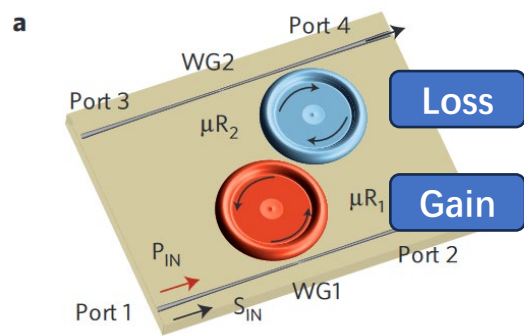


黑色箭头表示参数空间围绕着EP一周在黎曼面上只转了半周，表现为本征向量的交换，这与厄米系统简并点的拓扑是不一样的

Özdemir, Ş. K., Rotter, S., Nori, F. & Yang, L. Parity–time symmetry and exceptional points in photonics. *Nat. Mater.* **18**, 783–798 (2019).

## 2.一些实现PT对称系统的光学方案

$\omega_{1,2}$ : WGM谐振频率;  
 $\gamma_{1,2,c}$ : 本征增益/损耗, 1对taper的损耗;  
 $\kappa$ : 耦合系数

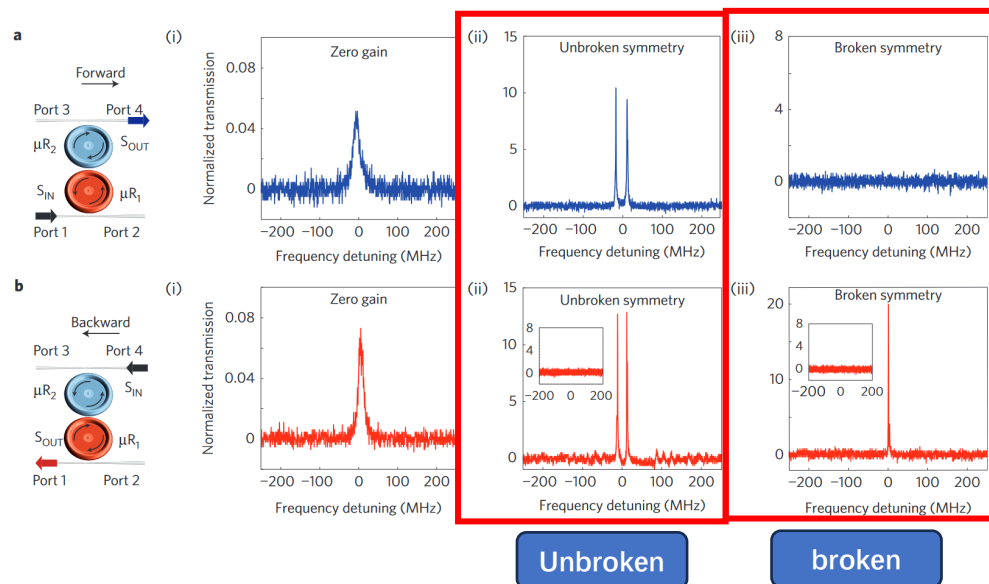


根据耦合双回音壁  
(WGM)微腔哈密顿  
量写出动力学方程

$$\frac{da_1}{dt} = -i\omega_1 a_1 - \frac{\gamma_1 + \gamma_c}{2} a_1 - i\kappa a_2 - \sqrt{\gamma_c} a_{in}$$

$$\frac{da_2}{dt} = -i\omega_2 a_2 - \frac{\gamma_2}{2} a_2 - i\kappa a_1$$

耦合双回音壁微腔系统构造



PT对称耦合光学谐振腔的  
非互易性

特征频率

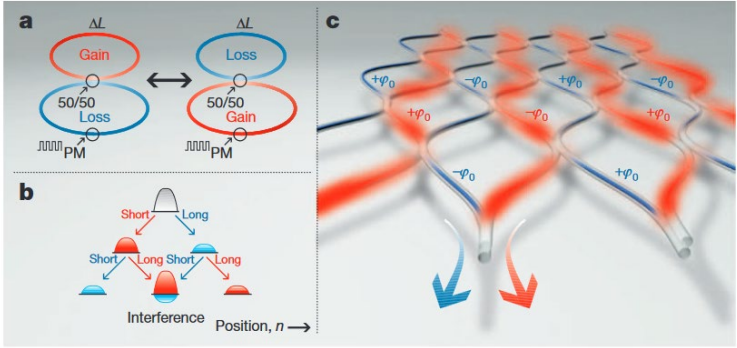
$$\omega_{\pm} = \left[ \omega_0 - \frac{i}{4} (\gamma_1 + \gamma_c + \gamma_2) \right] \pm \frac{1}{4} \sqrt{16\kappa^2 - (\gamma_1 + \gamma_c - \gamma_2)^2}$$

PT对称未发生破缺时, 系统处于线性区, 具有互易性。而在**PT对称破缺**时, 系统**非线性**性被显著增强, 进而有**非互易现象**的产生, 即Port1输入时Port4无输出, 而反过来却有相应的谐振峰。

基于增益-损耗微腔的方案

B. Peng *et al.*, “Parity–time–symmetric whispering-gallery microcavities,” *Nature Phys*, vol. 10, no. 5, pp. 394–398, May 2014, doi: [10.1038/nphys2927](https://doi.org/10.1038/nphys2927).

# 2.一些实现PT对称系统的光学方案



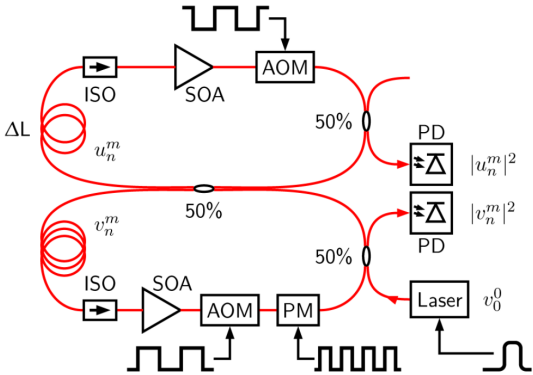
时域演化方程  
的递归形式

$$u_n^{m+1} = \frac{G^{\pm 1/2}}{\sqrt{2}} (u_{n+1}^m + i v_{n+1}^m)$$

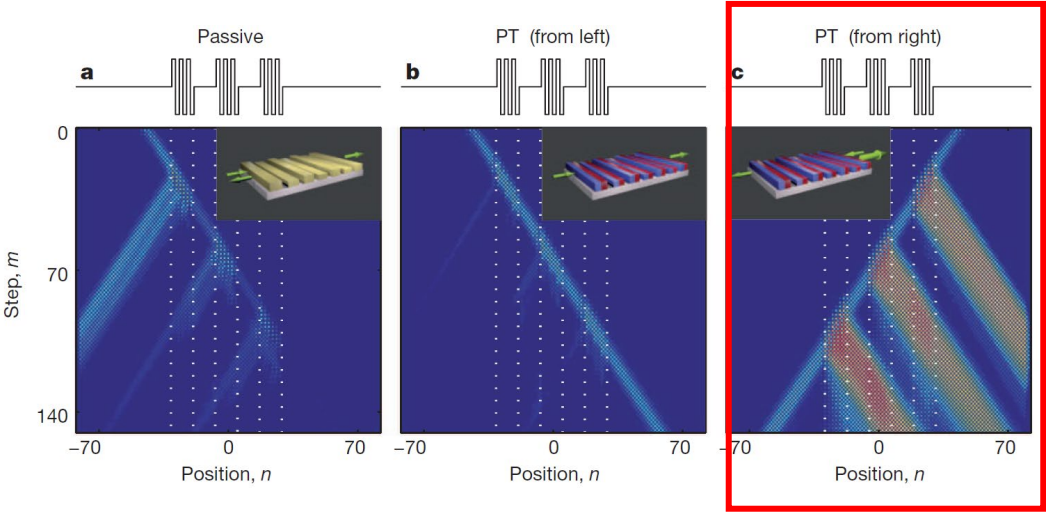
$$v_n^{m+1} = \frac{G^{\mp 1/2}}{\sqrt{2}} (i u_{n-1}^m + v_{n-1}^m) e^{i\varphi(n)}$$

$\varphi(n)$ 作为对称的相位差  
提供PT“光学势”的**实部**,  
而G则作为反对称的增益  
/损耗提供了**虚部**

## PT对称的等效光纤网络



实验配置



非互易传输现象

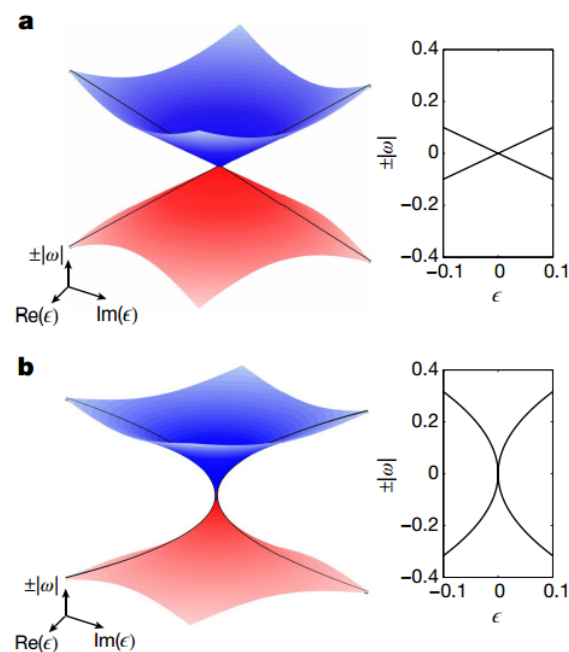
## 基于增益-损耗光波导的方案

Regensburger, A. *et al.* Parity–time synthetic photonic lattices. *Nature* **488**, 167–171 (2012).

### 3. PT对称光学微腔系统在传感方面的应用

超高灵敏度

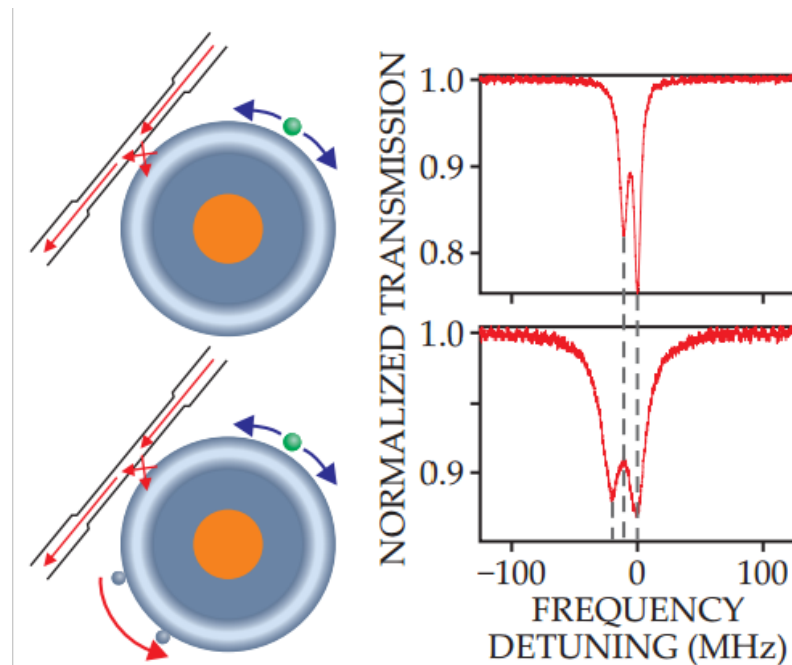
可以用Wyle微扰理论解释



DP点附近：复频率 $\omega$ 变化与微扰 $\epsilon$ 成正比

EP点附近：复频率 $\omega$ 变化与微扰 $\epsilon^{1/2}$ 成正比

显然非厄米系统简并点EP相比厄米系统简并点DP对微扰更加敏感

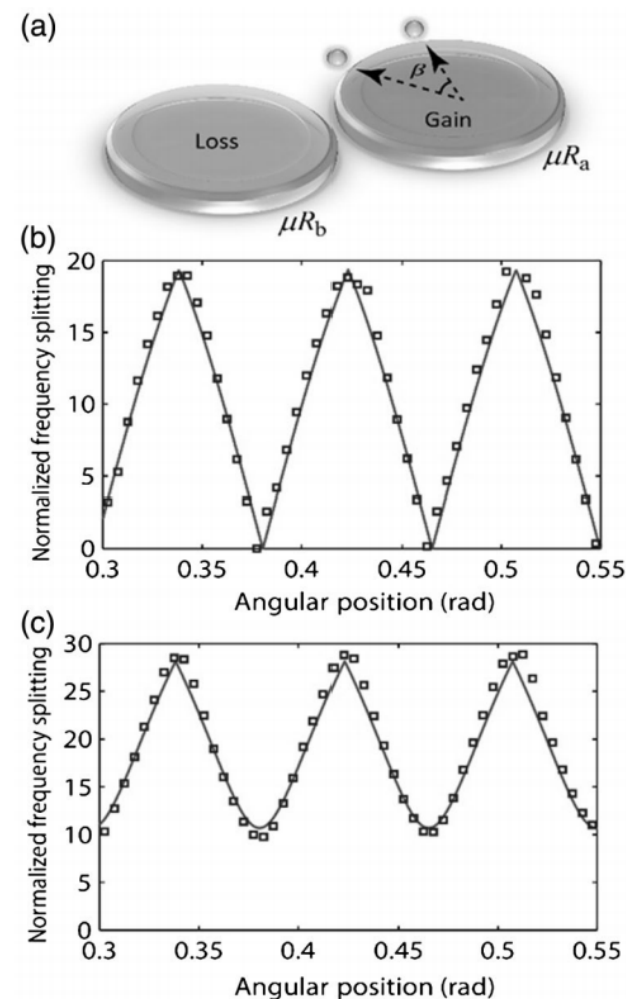
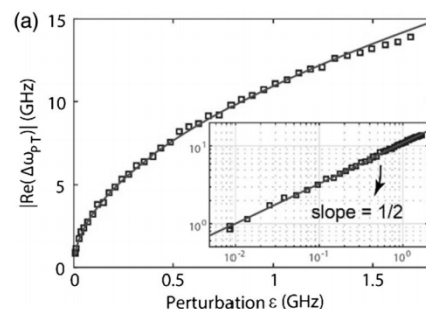
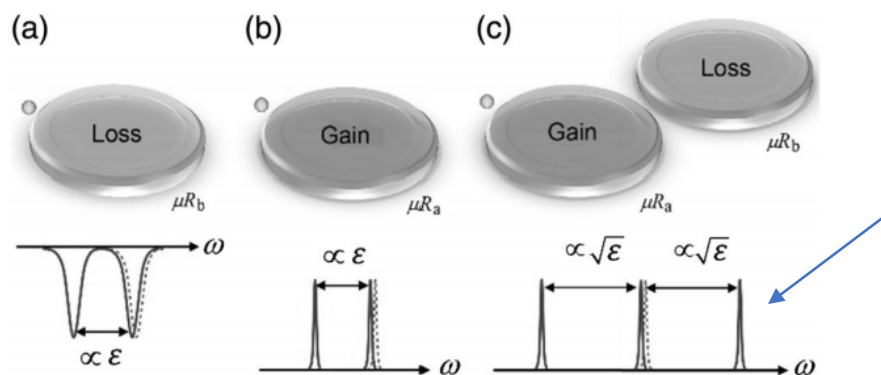


简并点（DP点与EP点）附近工作的传感器的透射光谱

W. Chen et al, Nature 548, 192 (2017).

### 3. PT对称光学微腔系统在传感方面的应用

#### ①PT对称的回音壁（WGM）模式谐振器



WGM纳米颗粒传感器原理：(a)单个无源谐振器（损耗）(b)单个有源谐振器（增益）(c)平衡增益和损耗的PT对称谐振器。

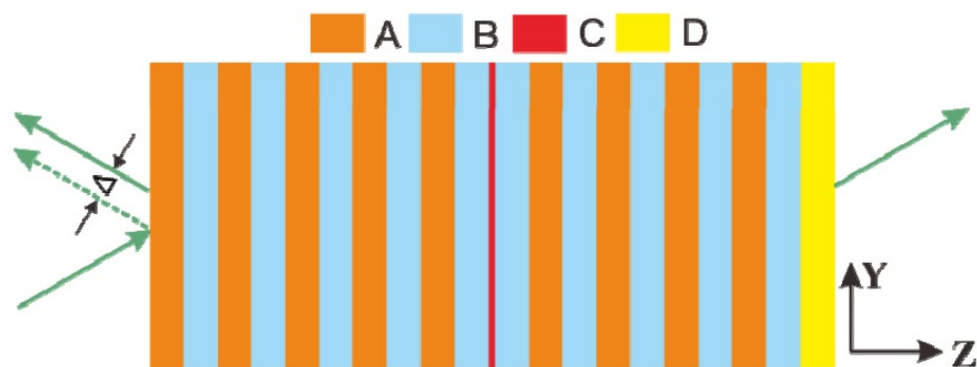
CHEN W, ZHANG J, PENG B, et al. Parity-time-symmetric whispering-gallery mode nanoparticle sensor[J]. Photonics Research, 2018, 6(5): A23-A30.

双纳米颗粒检测



### 3. PT对称光学微腔系统在传感方面的应用

#### ②多层介质折射率传感器

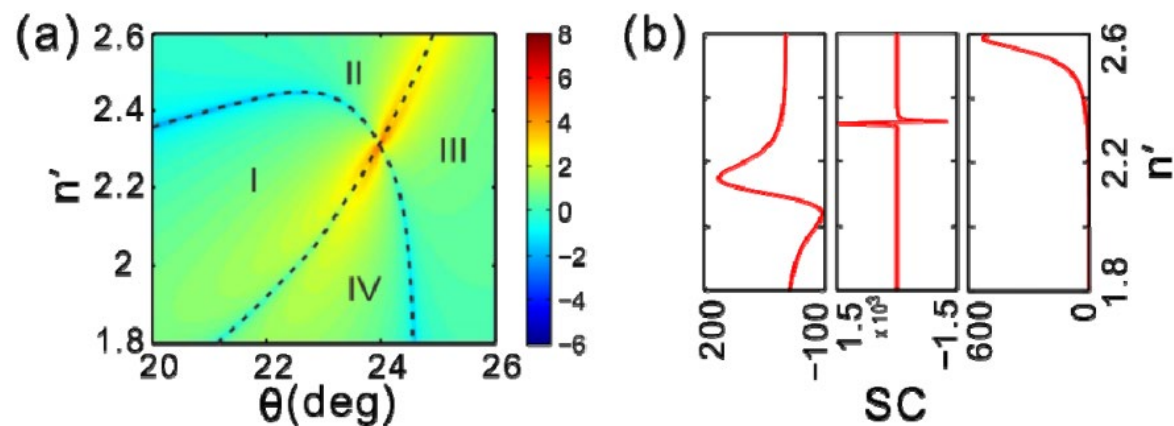


多层堆叠形成具有布拉格光栅的FP腔

A层和B层为不同折射率的介电体，沿z轴交替排列，形成两侧光子晶体缺陷的**布拉格光栅**，单层石墨烯C嵌入在腔体的中间。

将PC的右端层替换为介质D，从而打破了几何对称性，D层的介质折射率是可调的。

$n$ : 介质折射率  $\theta$ : 入射角 SC: GH位移变化随介质折射率的微分



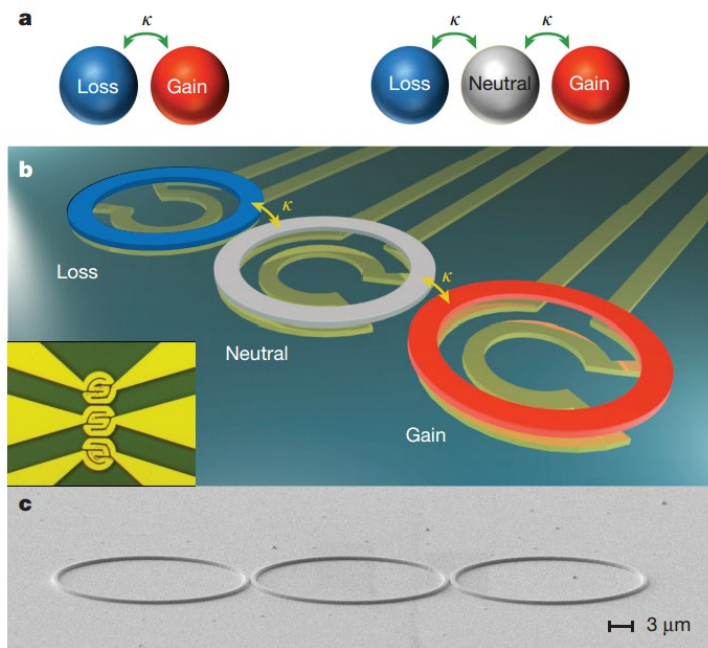
(a) (以左侧注入为例) 在EP点附近，区域被虚线分为四个部分。第一部分和第三部分为正，第二部分和第四部分为负(b) 不同折射角下的SC: 分别位于EP点对应入射角的两侧。

EP处的Goos-Hänchen位移具有方向依赖性并且对微小折射率变化非常敏感

ZHAO D, KE S, LIU Q, et al. Giant Goos-Hänchen shifts in non-Hermitian dielectric multilayers incorporated with graphene[J]. Optics Express, 2018, 26(3): 2817-2828.

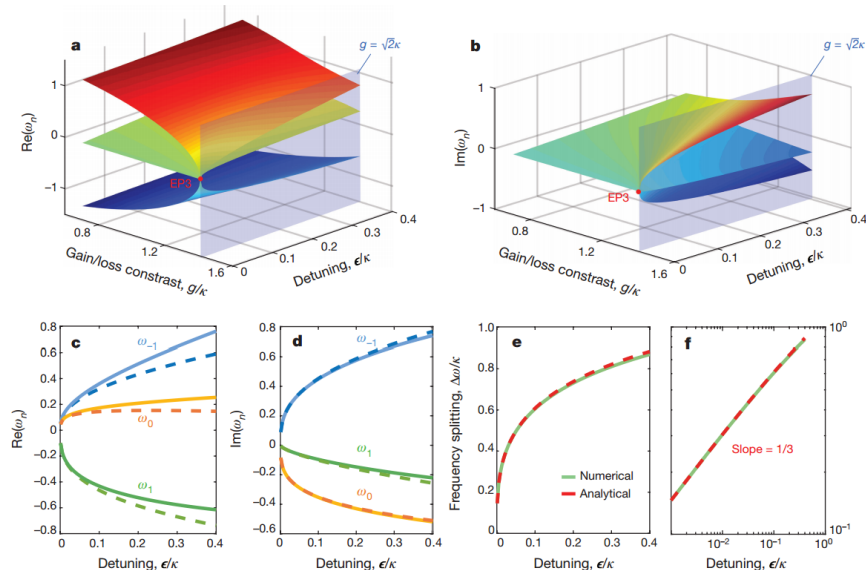
### 3. PT对称光学微腔系统在传感方面的应用

#### ③高阶EP点的温度传感器



二阶（左）和三阶（右）EP点示意图

高阶EP具有更高的灵敏度



**Figure 2 | Bifurcations of complex eigenfrequencies around a third-order exceptional point.** a, The real parts of the eigenfrequencies ( $\text{Re}(\omega_n)$ ) of the ternary parity-time-symmetric system as a function of the normalized gain/loss contrast  $g/\kappa$  and the detuning  $\epsilon/\kappa$ . The third-order exceptional point (EP3) occurs at  $g = \sqrt{2}\kappa$  (blue plane) and  $\epsilon = 0$ . b, The imaginary parts of the eigenfrequencies ( $\text{Im}(\omega_n)$ ). c, d, Analytical (dashed lines) and numerical (solid lines) solutions for the real (c) and imaginary (d) parts of the eigenfrequencies, for  $g = \sqrt{2}\kappa$ . e, Analytical (dashed red line) and numerical (solid green line) results for  $\text{Re}(\omega_0 - \omega_1)/\kappa = \Delta\omega/\kappa$ , demonstrating cube-root behaviour as a function of the detuning. f, The results from e on a logarithmic scale. The slope of 1/3 confirms the cube-root response.

频率分裂尺度对应为扰动强度的立方根

HODAEI H, HASSAN A U, Wittek S, et al.  
Enhanced sensitivity at higher-order exceptional points[J]. Nature, 2017, 548(7666): 187-191.